

# ВЛИЯНИЕ ГИБРИДИЗАЦИИ СОСТОЯНИЙ НА НИЗКОТЕМПЕРАТУРНЫЙ ЭЛЕКТРОННЫЙ ТРАНСПОРТ В НЕГЛУБОКИХ КВАНТОВЫХ ЯМАХ

**И. С. Васильевский<sup>a,b\*</sup>, В. А. Кульбачинский<sup>a</sup>, Р. А. Лунин<sup>a</sup>, Г. Б. Галиев<sup>b</sup>, В. Г. Мокеров<sup>b</sup>**

<sup>a</sup>Московский государственный университет им. М. В. Ломоносова  
119992, Москва, Россия

<sup>b</sup>Институт СВЧ-полупроводниковой электроники Российской академии наук  
117105, Москва, Россия

Исследован латеральный электронный транспорт при низких температурах в неглубоких псевдоморфных двусторонне дельта-легированных квантовых ямах GaAs/In<sub>0.12</sub>Ga<sub>0.88</sub>As/GaAs в зависимости от ширины, уровня легирования и наличия тонкого центрального барьера AlAs. Показано, что такой барьер изменяет зонную структуру и волновые функции электронов в квантовых ямах, что приводит к существенному изменению рассеяния электронов и изменению подвижности.

PACS: 73.21.-b, 73.21.Fg, 73.43.Qt, 73.63.Hs, 78.67.De

Квантовые ямы со сложным потенциальным профилем представляют большой интерес для исследователей. Тонкий барьер или дополнительная узкая квантовая яма внутри основной квантовой ямы могут изменить структуру подзон размерного квантования, а также нужным образом как оптические, так и транспортные свойства [1, 2]. Ряд исследований указывает на возможность изменять с помощью тонкого барьера рассеяние электронов на оптических фонарах [3, 4]. Всего в нескольких противоречивых работах исследовано влияние барьера на электронный транспорт [5, 6].

В настоящей работе исследовались температурные зависимости сопротивления, магнитосопротивление в слабых и квантующих магнитных полях  $B$  в неглубоких (90 мэВ) псевдоморфных квантовых ямах различной ширины и с различным уровнем легирования. Сравнивались зонная структура и электронный транспорт в квантовых ямах с барьером AlAs в центре и без него.

Псевдоморфные квантовые ямы GaAs/In<sub>0.12</sub>Ga<sub>0.88</sub>As/GaAs выращивались методом молекуллярно-лучевой эпитаксии на полуизолирующих подложках (001) GaAs. Вначале выращивался буфер GaAs размером 0.6 мкм. Далее дельта-слой

Параметры исследованных образцов

№	1	2	3	4	5	6
$L_{QW}$ , нм	16	16	16	16	11	11
$b$ , мС	0	3	0	3	0	3
$N_d$ , 10 <sup>12</sup> см <sup>-2</sup>	3.2	3.2	1	1	1	1
$\rho_0$ , О/□	573	724	1586	5140	1338	8770
$n_H$ , 10 <sup>12</sup> см <sup>-2</sup>	2.86	2.61	0.52	0.57	0.59	0.47
$\mu_H$ , м <sup>2</sup> /Вс	0.38	0.33	1.0	0.21	0.8	0.15

кремния, отделенный от квантовой ямы GaAs спейсером шириной 8.5 нм. Затем квантовая яма In<sub>0.12</sub>Ga<sub>0.88</sub>As с различной толщиной  $L_{QW}$ . Далее опять спейсер GaAs шириной 8.5 нм и верхний дельта-слой кремния для легирования ямы. Температура роста псевдоморфной ямы составляла 510 °С, все остальные слои выращивались при 590 °С. Центральный барьер состоял из  $b = 3$  монолитов AlAs. Некоторые структурные параметры образцов приведены в таблице. Там же приведены сопротивления  $\rho_0$ , холловские концентрации  $n_H$  и подвижности  $\mu_H$  электронов при  $T = 4.2$  К. Величина  $N_d$  есть суммарная поверхностная концентрация

\*E-mail: ivasilevskii@mail.ru

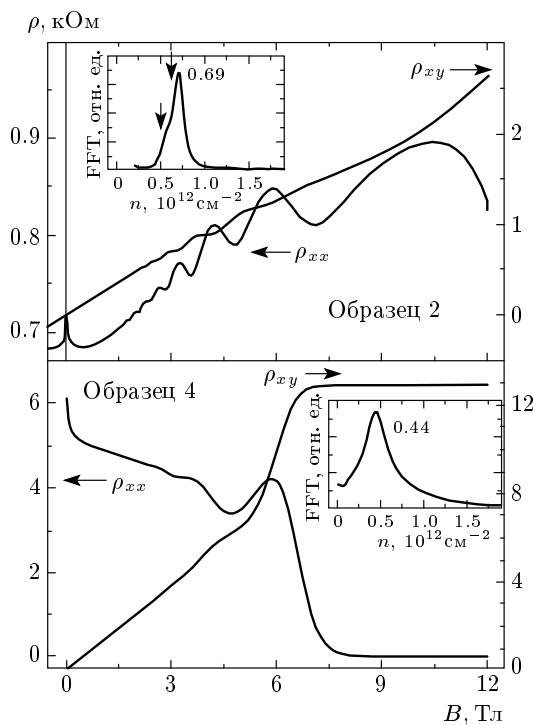


Рис. 1. Осцилляции  $\rho_{xx}(B)$  и  $\rho_{xy}(B)$  в образцах 2 и 4 при  $T = 0.25$  К. На вставке: фурье-спектры осцилляций

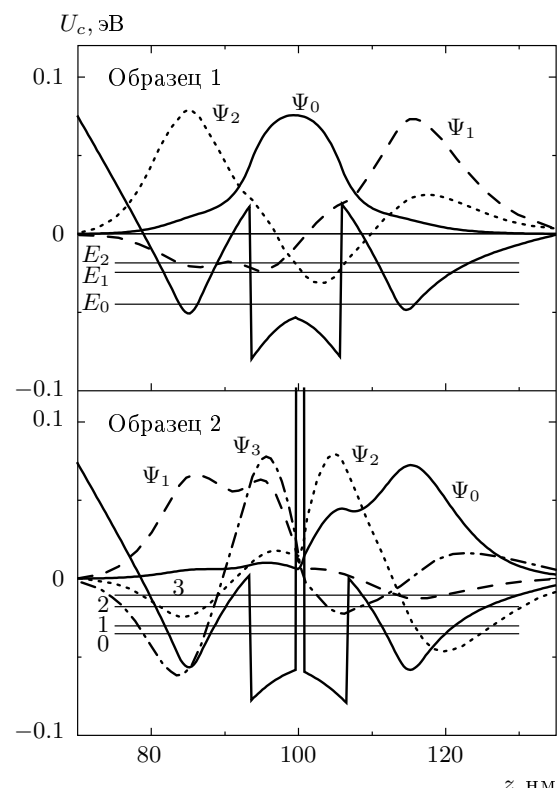


Рис. 2. Зонная структура и волновые функции электронов для образцов 1 и 2

кремния в дельта-слоях.

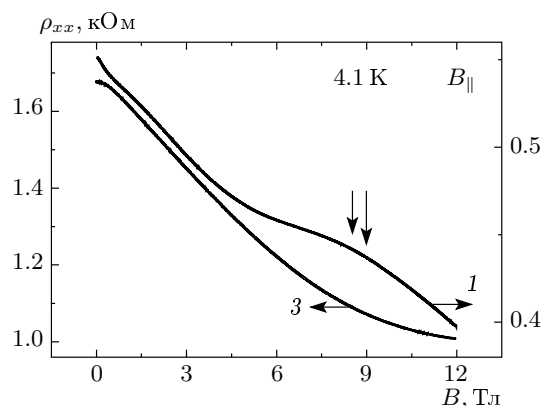
Температурные зависимости сопротивления  $\rho(T)$  измерялись для всех образцов в интервале температур 0.25–300 К.

Образцы с одиночной квантовой ямой (1, 3 и 5) показали зависимости  $\rho(T)$  металлического типа, т. е. сопротивление уменьшалось приблизительно линейно при уменьшении температуры. Сопротивление соответствующих образцов с центральным барьером AlAs (2, 4 и 6) увеличивалось при понижении температуры примерно в 3–7 раз.

Магнитосопротивление и эффект Холла измерялись при температурах 0.25–4.2 К. По этим данным определялись холловские концентрации  $n_H$  и подвижности  $\mu_H$  электронов. Электронные концентрации  $n_{SDH}$  в подзоне размерного квантования с наивысшей подвижностью были определены по фурье-спектрам осцилляций Шубникова–де Гааза. Найдено, что в образцах 4 и 6 введение барьера незначительно уменьшает электронную концентрацию в подзонах размерного квантования, в то время как в сильно легированном образце 2 величина  $n_{SDH}$  существенно уменьшается. В качестве примера на рис. 1 приведены магнитосопротивление и холлов-

ское сопротивление для образцов 2 и 4. Вставка показывает фурье-спектры осцилляций (стрелками показаны концентрации в подзонах размерного квантования). В слабых магнитных полях  $B$  во всех образцах наблюдается отрицательное магнитосопротивление, связанное с подавлением слабой локализации. При увеличении  $B$  в умеренно легированных образцах 3–6 сопротивление с ростом  $B$  уменьшается почти линейно до начала осцилляций. В сильных магнитных полях появляется квантовый эффект Холла. В сильно легированных образцах 1 и 2 магнитосопротивление положительно в промежуточных магнитных полях  $B$ . Положительное магнитосопротивление объясняется проводимостью по нескольким подзонам.

Зонная структура рассчитывалась путем самосогласованного решения уравнений Шредингера и Пуассона. В качестве примера на рис. 2 приводятся профили дна зоны проводимости и волновые функции электронов для образцов 1 и 2. В образцах 3–6 оказалась заполненной только одна подзона размерного квантования, в то время как в сильно легированных образцах 1 и 2 заполнено несколько подзон.



**Рис. 3.** Магнитосопротивление  $\rho_{xx}(B)$  при  $T = 4.1$  К в параллельном двумерному слою магнитном поле  $B$  в образцах 1 и 3. Стрелки соответствуют значению  $B$ , при котором верхняя подзона опустошается

Как показано на рис. 2, в образцах 1 и 2 имеются по две гибридных подзоны (в дельта-слое и в квантовой яме). Центральный барьер AlAs приводит к реконструкции волновых функций и к формированию гибридных состояний, когда волновая функция распространяется на дельта-слой и квантовую яму ( $\Psi_2$  и  $\Psi_3$ ). При этом изменяется механизм рассеяния электронов с фононного на рассеяние на ионизированных примесях. Тем не менее в образце 2 нижние подзоны ( $E_0$  и  $E_1$  на рис. 2) обеспечивают эффективное экранирование, и осцилляции наблюдаются от третьей подзоны ( $E_2$ ), что соответствует сильно уменьшению частоты осцилляций Шубникова–де Гааза в образце 2 по сравнению с образцом 1.

В сильных параллельных магнитных полях  $B$  из-за диамагнитного сдвига подзон верхние подзоны опустошаются [7]. В образце 1 по сравнению с об-

разцом 3 проявляется особенность в магнитосопротивлении, связанная с опустошением подзон в дельта-слоях ( $E_1$  и  $E_2$ ), как показано на рис. 3. Стрелками отмечены расчетные значения магнитного поля, при котором подзоны  $E_1$  и  $E_2$  выходят за уровень Ферми.

Таким образом, введение тонкого барьера AlAs в центр неглубокой квантовой ямы с двусторонним дельта-легированием приводит к эффективной реконструкции энергетического спектра и волновых функций и изменению механизма рассеяния электронов.

Работа выполнена при финансовой поддержке РФФИ (грант № 05-02-17029-а).

## ЛИТЕРАТУРА

1. A. Patanè, D. Sherwood, L. Eaves, T. M. Fromhold et al., *Appl. Phys. Lett.* **81**, 661 (2002).
2. Q. X. Zhao, S. Wongmanerod, M. Willander, P. O. Holtz et al., *Phys. Rev. B* **62**, 10984 (2000).
3. J. Požela, A. Namajunas, K. Požela, and V. Juciene, *J. Appl. Phys.* **81**, 1775 (1997).
4. J. Požela, V. Juciene, A. Namajunas, and K. Požela, *ФТП* **31**, 85 (1997).
5. X. T. Zhu, H. Goronkin, G. N. Maracas, R. Droopad, and M. Stroscio, *Appl. Phys. Lett.* **60**, 2141 (1992).
6. T. Noda, M. Tanaka, and H. Sakaki, *J. Cryst. Growth* **95**, 60 (1989).
7. В. А. Кульбачинский, В. Г. Кытин, Р. А. Лунин и др., *ФТП* **33**, 839 (1999).